

ОДНОЭЛЕКТРОННЫЙ ТРАНСПОРТ В СИСТЕМЕ С УПРАВЛЯЕМОЙ ПРОЗРАЧНОСТЬЮ ТУННЕЛЬНЫХ БАРЬЕРОВ

Одинцов А. А.

Рассмотрена область двумерного газа малых размеров (порядка 100—500 нм), отделенная от остальной части газа потенциальными барьерами, прозрачности которых определяются приложенными к затворам напряжениями. Показано, что при периодической модуляции прозрачностей с частотой f ток через такую структуру фиксирован и составляет Nef , где $N=1, 2, \dots$ в зависимости от режима работы. Оценены основные параметры системы и обсуждены возможности ее реализации.

Введение. Эффекты коррелированного туннелирования одиночных электронов, предсказанные в работах Аверина, Лихарева и др. [1-3] и наблюдавшиеся впоследствии в ряде экспериментов [4, 5], в последнее время привлекают особое внимание экспериментаторов в связи с возможностью создания принципиально новых электронных устройств на их основе [6]. Физической причиной одноэлектронных эффектов является существенное изменение кулоновской энергии системы (на величину порядка $E_c = e^2/2C$, где C — электрическая емкость) при туннелировании одного электрона, в результате которого заметно изменяются условия туннелирования других электронов. Необходимость уменьшения емкости (по крайней мере до значений $C < e^2/2k_B T$, что составляет 10^{-14} Ф при $T=1$ К) обуславливает достаточно жесткие требования к конкретной физической системе, используемой для наблюдения одноэлектронных явлений. До настоящего времени в экспериментах, как правило, использовались туннельные переходы между нормальными металлами или сверхпроводниками, имеющие субмикронные размеры.

В недавней работе [6] была предложена и реализована система из четырех туннельных переходов, обеспечивающая однонаправленное прохождение электронов при модуляции напряжения затвора. Ток через такую систему связан с частотой модуляции f соотношением

$$I = Nef \quad (1)$$

(в экспериментах [6] $N=1$). Однако, как показывает анализ [7], точность выполнения соотношения (1) существенно ограничена квантовыми процессами туннелирования электронов через классически запрещенные промежуточные состояния. Это связано с тем, что интенсивность γ ($\gamma \propto G^2$) паразитного процесса квантового туннелирования определяется той же величиной G туннельной проводимости переходов (т. е. прозрачности туннельных барьеров), что и интенсивность Γ ($\Gamma \propto G$) основного классического процесса.

Существенно подавить паразитный квантовый процесс и интенсифицировать классический можно с помощью селективного изменения прозрачностей соответствующих туннельных барьеров. Эта идея может быть реализована в простом устройстве на двумерном электронном газе (ДЭГ), описание и анализ которого являются предметом настоящей работы. Успешное наблюдение одноэлектронных эффектов в структуре ДЭГ с геометрией, близкой к предлагаемой [8] (см. также [9, 10]), дает основания надеяться на интерес экспериментаторов к рассматриваемой системе.

Рассматриваемая система может быть создана на основе кремниевой МДП структуры или гетероструктуры GaAs—AlGaAs с помощью системы затворов (рис. 1, 2). Сплошной верхний затвор (рис. 2, а) служит для создания слоя

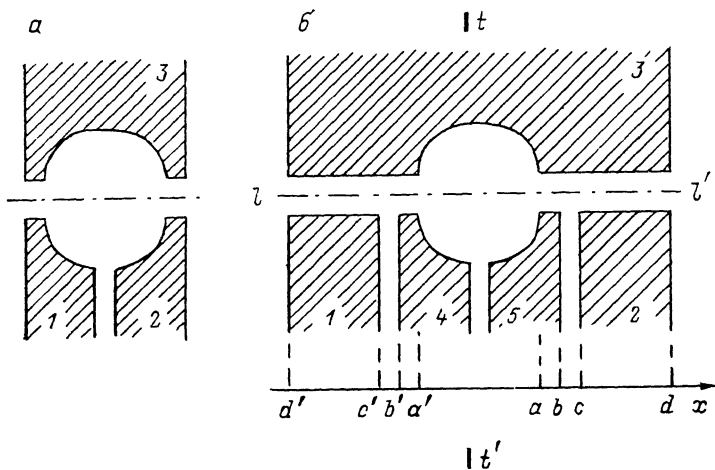


Рис. 1. Возможная геометрия затворов: упрощенная (а) и более сложная (б).

ДЭГ на границе Si—SiO₂ [9]. В гетероструктуре GaAs—AlGaAs (рис. 2, б) роль этого затвора играет проводящая подложка из сильно легированного GaAs [8, 10]. Приложение отрицательных напряжений V₁, V₂, V₃, (V₄, V₅) к затворам 1, 2, 3, (4, 5) (рис. 1) создает конфигурацию ДЭГ, состоящую из

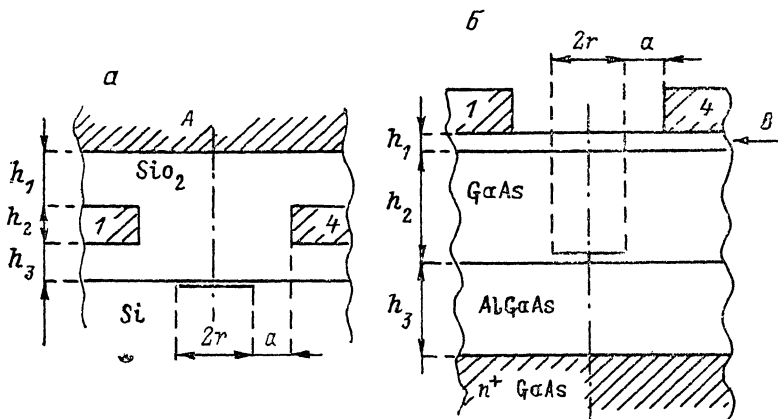


Рис. 2. Сечение структуры (рис. 1, б) в плоскости (tt').

а — кремниевая технология [9], h₁=45, h₂=h₃=30 нм, б — галлий-арсенидная технология [8, 10], h₀=20, h₂=120, h₃=100 нм. Обозначения: А — верхний затвор, В — верхний слой GaAs.

центральной области, левого (x < d') и правого (x > d) берегов. Постоянные напряжения V₃, V₄, V₅ создают барьеры (ab), (b'a') (рис. 1, б) с относительно высокой прозрачностью (см. далее), ограничивающие ДЭГ в центральной области. Содержащие переменную составляющую напряжения

$$V_n = V_0 + (-1)_n V_- \cos(2\pi ft), \quad n = 1, 2 \quad (2)$$

обеспечивают изменение прозрачности барьеров (cd), (d'c') в широких пределах.

Рассмотрим динамику процессов в системе. Пусть при значениях напряжений V₁ > V_c, V₂ > V_c (V_c > V₀) происходит пережимание каналов (d'c'),

(cd). Тогда в течение интервала времени T_a , когда $V_1 > V_c$, левый канал ($d'c'$) открыт, а правый (cd) заперт, через барьер ($b'a'$) происходит туннелирование ровно N электронов ($N=0, 1, 2, \dots$ в зависимости от режима работы, см. далее). Далее в течение промежутка времени T_p оба канала заперты ($V_1 < V_c$, $V_2 < V_c$). Затем открывается правый канал ($V_2 > V_c$), через барьер (ab) туннелирует N электронов и после паузы процесс повторяется (отметим, что $T_a + T_p = 1/2f$).

В упрощенной системе (рис. 1, а) процесс протекает аналогично с той лишь разницей, что даже при $V_{1(2)} = V_0 + V_-$ каналы не открываются полностью, а лишь существенно увеличивают свою прозрачность.

Таким образом, рассматриваемый процесс приводит к прохождению через систему тока (1), определяемого частотой модуляции напряжений (2).

Анализ системы. Оценка параметров

При доступных на современном технологическом уровне размерах затворов $L \sim 200 \div 500$ нм размер центральной области ДЭГ $2r$ (рис. 2) может быть сделан порядка $100 \div 300$ нм. Число электронов данной области еще достаточно велико ($N \sim 3 \cdot 10^1 \div 3 \cdot 10^2$) и характерная длина экранирования $\lambda = \alpha_B / 2g$ (см. [11]) мала по сравнению с размерами системы. Поэтому кулоновскую энергию системы можно определить с помощью методов классической электростатики, рассматривая ДЭГ как идеальный проводник.

В результате получаем следующее соотношение (ср. [2, 3]):

$$E_c(n_1, n_2) = \frac{1}{2C} [e(n_1 - n_2) + Q_0]^2 - n_1 e U_1 + n_2 e U_2, \quad Q_0 = C_1 U_1 + C_2 U_2 + \sum_{i \geq 1} C^{(i)} V_i \quad (3)$$

для кулоновской энергии как функции зарядов $n_1 e$ и $n_2 e$ (n_1, n_2 — целые числа), протуннелировавших через левый и правый барьеры в направлении от левого берега ДЭГ (истока) к правому берегу (стоку). В выражении (3) C_1, C_2 — взаимные емкости центральной части ДЭГ с левым и правым берегами, $C^{(i)}$ ($i \geq 1$) — емкости с затворами и подложкой; U_1, U_2, V_i ($i \geq 1$) — потенциалы соответствующих проводников; $C = C_1 + C_2 + \Sigma C^{(i)}$ — полная емкость центральной области ДЭГ (основной вклад в которую вносят $C^{(i)}$). В таблице приведены оценки емкости C (с точностью $\approx 30\%$) для области ДЭГ, имеющей форму диска радиуса r в геометриях поперечного сечения, изображенных на рис. 2.

Для описания одноэлектронного туннелирования применим формализм туннельного гамильтониана [1-3, 12]. При рассматриваемых размерах r ($r \gg \alpha_B$) энергетический интервал между уровнями пространственного квантования \hbar^2 / mr^2 значительно меньше характерного масштаба e^2 / C ($C \sim \epsilon r$) изменения кулоновской энергии E_c (ϵ — эффективная проницаемость диэлектрика, окружающего ДЭГ) и эффектами пространственного квантования [3] можно пренебречь. В этом случае при достаточно низких температурах ($k_B T \ll e^2 / C$) туннелирование каждого электрона через открытый барьер происходит, если оно ведет к уменьшению E_c . Условие прохождения через систему в течение цикла равно N электронов ($n_1 \rightarrow n_1 + N, n_2 \rightarrow n_2 + N$) и выполняется в следующем интервале значений разности напряжений $U = U_1 - U_2$ между истоком и стоком:

$$|CU/e - N| < 1/2 + (-1)^N \{1/2 - 2|q/e - [q/e]|\}, \quad q \equiv (C - 2C_1)U_0 - \sum_{i \geq 1} C^{(i)}V_i, \quad (4)$$

где $U_0 = (U_1 + U_2) / 2$, $C_1 = C_2$, а величина $[x]$ равна ближайшему к x целому числу.

Следует учесть, что изменение со временем потенциалов (2), вследствие неизбежного неконтролируемого различия $C^{(1)}$ и $C^{(2)}$, приводит к осцилляциям величины q с частотой f . Это вызывает сужение рабочей области (4), так как

условие (4) должно выполняться во всем интервале изменения $q(t)$. Этот эффект будет проявляться сильнее в упрощенной геометрии (рис. 1, а), где больше относительный вклад емкостей $C^{(1)}$, $C^{(2)}$ в общую емкость C .

Оценим максимальную рабочую частоту f_{\max} и ток $I_{\max} = ef_{\max}$ в системе. Величина f_{\max} ($f_{\max} \approx 1/2T_a$ в случае рис. 1, б) определяется длительностью активного периода T_a ($T_a \approx 30 \tau$), которая в свою очередь зависит от интенсивности τ^{-1} туннелирования электронов в (из) центральную область через открытый барьер:

$$\tau^{-1} = G\Delta E_c/e^2. \quad (5)$$

Здесь ΔE_c — уменьшение кулоновской энергии (3) при туннелировании электрона ($\Delta E_c \approx e^2/C$), а G — проводимость открытого барьера [(ab) или (b'a')] в случае рис. 1, б].

Из теории известно, что картина дискретного туннелирования одиночных электронов имеет место лишь при малой проводимости $G \ll \hbar/e^2$ (при больших значениях G заряд центральной области перестает быть хорошо определенной в масштабе e величиной). Задаваясь значениями $C = 10^{-16}$ Ф и $G^{-1} = 10^5$ Ом, имеем $\tau \approx 10^{-11}$ с, $f_{\max} = 1$ ГГц, $I_{\max} = 0.2$ нА.

Если потенциал вдоль оси ll' системы (точнее энергии $\epsilon_n(x)$ уровней $n = 0, 1, 2, \dots$ поперечного квантования) плавно меняется на масштабе k_F^{-1} ($k_F^{-1} \approx 10$ нм), то применим адиабатический подход [13] и проводимость G связана с прозрачностью $D(E_F)$ потенциального барьера $\epsilon_0(x)$ соотношением

$$G \approx \frac{e^2}{\pi\hbar} D(E_F). \quad (6)$$

При этом требование $G \ll \hbar/e^2$ сводится к $D(E_F) \ll 1$ и означает слабую гибридизацию электронных состояний в центральной области и в берегах. Подчеркнем, что величина $D(E_F)$ не должна быть слишком малой, так как это приведет к снижению f_{\max} и I_{\max} .

Отметим, что в упрощенной системе (рис. 1, а) туннелирование электронов может эффективно происходить лишь в течение коротких промежутков времени $T_a \ll f^{-1}$, когда прозрачность одного из барьеров близка к своему максимальному значению D_{\max} ($D_{\max} \ll 1$, см. выше). Считая, что прозрачности экспоненциально зависят от напряжений (2), можно получить, что величина f_{\max} уменьшается в $\approx (\ln D_{\max}/D_{\min})^{1/2}$ раз по сравнению со значением, определенным выше.

Рассмотрим факторы, ограничивающие точность выполнения соотношения (1). Перенос через систему в течение цикла заряда, отличного от Ne , может осуществиться вследствие одного из следующих событий.

1) Заряд, не равный Ne , прошел через открытый канал. Вероятность такого события $p^{(1)} \approx \exp(-\Delta E_c/k_B T)$ экспоненциально убывает с уменьшением температуры ($\lg p^{(1)} \approx -80$, при $T = 0.1$ К $C = 10^{-18}$ Ф).

2) Заряд был перенесен через запертый канал. Вероятность термического переброса электрона $p_T^{(2)} \approx (E_F/\pi\hbar f) \exp(-E_b/k_B T)$ также мала при низких температурах ($\lg p_T^{(2)} \approx -240$ при $E_b = 5$ мэВ, $E_F = 5$ мэВ, $T = 0.1$ К; здесь E_b — высота над уровнем Ферми E_F барьера $\epsilon_0(x)$ в запертом канале). В отличие от случая системы туннельных переходов [6, 7] вероятность $p_k^{(2)} = 1/\tau^{(k)} f$ квантового туннелирования электрона, определяемая [см. (5), (6)] прозрачностью $D(E_F) \approx \exp\{-2\hbar^{-1} l_b (2m^* E_b)^{1/2}\}$ запертого барьера [(cd) или (d'c')], становится экспоненциально малой при увеличении его длины l_b ($\lg p_k^{(2)} \approx -43$ при $l_b = 500$ нм, $E_b = 5$ мэВ, $C = 10^{-16}$ Ф, $f = 10^9$ Гц, $m^* = 0.07m_0$).

3) Заряд центральной области ДЭГ изменился не в результате прохождения электронов через каналы, а вследствие генерационно-рекомбинационных процессов «вертикального транспорта» (см. [14]). Характерные времена τ_b этих процессов, составляющие $0.01 \div 1$ с при низких температурах, определяют вероятность $p^{(3)} = 1/\tau_b f$ вертикального переноса электрона.

Таким образом, относительное отклонение $\delta I/I = p^{(1)} + p^{(2)} + p^{(3)}$ тока от значения I определяется в основном интенсивностью процессов вертикального транспорта и составляет $10^{-7} \div 10^{-9}$.

Автор искренне благодарен Д. В. Аверину, В. А. Волкову и особенно К. К. Лихареву за плодотворное обсуждение результатов и помощь в работе.

Список литературы

- [1] Averin D. V., Likharev K. K. // *Mesoscopic Phenomena in Solids* / Ed. by B. Al'tshuler, P. Lee, R. Webb. Amsterdam, 1991. V. 30. Ch. 6.
- [2] Лихарев К. К. // *Микроэлектроника*. 1987. Т. 16. В. 3. С. 195—209.
- [3] Аверия Д. В., Коротков А. Н. // *ЖЭТФ*. 1990. Т. 97. В. 5. С. 1661—1673.
- [4] Fulton T. A., Gammel P. L., Bishop D. J., Dunkelberger L. N., Dolan G. J. // *Phys. Rev. Lett.* 1989. V. 63. N 12. P. 1307—1310.
- [5] van Bentum P. J. M., Smokers R. T. M., van Kempen H. // *Phys. Rev. Lett.* 1988. V. 60. N 24. P. 2543—2546.
- [6] Geerligs L. J., Anderegg V. F., Holweg P. A. M., Mooij J. E., Pothier H., Esteve D., Urbina C., Devoret M. H. // *Phys. Rev. Lett.* 1990. V. 64. N 22. P. 2691—2694.
- [7] Аверия Д. В., Одинцов А. А. // *ЖЭТФ*. 1989. Т. 96. В. 4. С. 1349—1361.
- [8] Meirav U., Kastner M. A., Wind S. J. // *Phys. Rev. Lett.* 1990. V. 65. N 6. P. 771—774.
- [9] Scott-Thomas J. H. F., Field S. B., Kastner M. A., Smith H. I., Antoniadis D. A. // *Phys. Rev. Lett.* 1989. V. 62. N 5. P. 583—586.
- [10] Meirav U., Kastner M. A., Heiblum M., Wind S. J. // *Phys. Rev. B*. 1989. V. 40. N 8. P. 5871—5874.
- [11] Андо Т., Фаулер А., Стерн Ф. *Электронные свойства двумерных систем*. М., 1985. 415 с.
- [12] Glazman L. I., Shekhter R. I. // *J. Phys. Cond. Matt.* 1989. V. 1. N 33. P. 5811—5815.
- [13] Глазман Л. И., Лесовик Г. Б., Хмельницкий Д. Е., Шехтер Р. И. // *Письма ЖЭТФ*. 1988. Т. 48. В. 4. С. 218—220.
- [14] Зи С. *Физика полупроводниковых приборов*. Т. 1. М., 1984. 455 с.

Научно-исследовательский институт
ядерной физики при МГУ
им. М. В. Ломоносова
Москва

Получена 4.10.1990
Принята к печати 9.01.1991